

УДК 535.37 : 548.0

СПИН-РЕШЕТОЧНАЯ РЕЛАКСАЦИЯ И НЕРАВНОВЕСНЫЕ ФОНОНЫ В РУБИНЕ

B. Л. Шехтман, A. F. Якубов

Показано, что в режиме компенсированной диффузии фононов 29 см^{-1} в оптически возбужденном рубине в сильном внешнем магнитном поле интеграл неупругих столкновений с переворотом спина в \bar{E} -состоянии почти полностью скомпенсирован, даже если заселенности крамерсовских подуровней сильно отличаются по величине. При этом переходы с переворотом спина, весьма вероятные при сильном пленении, происходят вхолостую, не выравнивая в стационарных опытах эти заселенности. При очень сильном оптическом возбуждении разрушение спиновой памяти в \bar{E} -состоянии, т. е. выравнивание заселенностей, обусловлено влиянием стоксовских релаксационных высокочастотных фононов, которые влияют не только на генерацию фононов 29 см^{-1} , но и на сам механизм пленения фононов 29 см^{-1} . Рассмотренный механизм спиновой релаксации существенно отличается от известной орбаховской релаксации и необходим для объяснения и понимания экспериментальных данных по неравновесным фононам 29 см^{-1} в оптически возбужденном рубине.

В работе представлены результаты теоретического исследования спиновой релаксации парамагнитных ионов в кристаллах, вызванной многократным резонансным рассеянием термодинамически неравновесных фононов. Как актуальный пример рассмотрена спиновая релаксация крамерсовского уровня \bar{E} (2E) ионов хрома в оптически возбужденном рубине $\text{Al}_2\text{O}_3 : \text{Cr}^{3+}$. При достаточно низкой температуре эта релаксация обусловлена многократным перерассеянием (пленением) неравновесных фононов 29 см^{-1} , резонансных с $E - 2\bar{A}$ переходом ионов Cr^{3+} . Пленение фононов 29 см^{-1} интенсивно исследовалось в последние годы многими авторами (см. обзоры [1, 2]).

Данный механизм спиновой релаксации отличается необычными свойствами, а именно: вероятности $\bar{E}_+ \leftrightarrow \bar{E}_-$ переходов между спиновыми подуровнями, индуцированные плененными фононами, как оказывается, не влияют на заселенности этих подуровней, даже когда эти вероятности переворота спина значительно превышают вероятность радиационного затухания \bar{E} -уровня. Это приводит к сохранению спиновой памяти, что наблюдается на опыте [3, 4] в виде неравенства соответствующих заселенностей N_+ и N_- уровней \bar{E}_+ и \bar{E}_- , которое имеет место даже при сильном пленении и соответственно больших числах заполнения фононов 29 см^{-1} .

Таким образом, в данном случае имеет место ситуация, когда две неравновесные системы — спиновые подуровни \bar{E}_{\pm} и фононы 29 см^{-1} — находятся в состоянии «внутреннего равновесия»; при этом фактическая релаксация происходит только за счет малого отклонения соответствующего интеграла столкновений (см. ниже) от нуля, а взаимодействие с окружением (термостатом) является слабым. В этом заключается принципиальное отличие данного механизма релаксации от известного механизма Орбаха—Аминова, который в рубине тоже обусловлен фононами 29 см^{-1} , но в условиях их термодинамического равновесия [5, 6]. Существенно подчеркнуть, что объяснение опытных данных [3, 4] на основе орбаховской релаксации путем формального пересчета числа заполнения невозможно.

Перейдем к более детальному изложению существа дела. Наблюдающие в стационарных опытах [3] заселенности \bar{E}_{\pm} уровней по интенсивности зеемановских компонент R_1 линии либо косвенно по степени пленения [4] удовлетворяют следующим кинетическим уравнениям:

$$\begin{aligned}\dot{N}_- &= -\tau_{-}^{-1} N_- + \Lambda_- + \lambda_- (\Gamma^{(+)} / \Gamma) + \lambda_+ (\Gamma^{(-)} / \Gamma) + S = 0, \\ \dot{N}_+ &= -\tau_{+}^{-1} N_+ + \Lambda_+ + \lambda_- (\Gamma^{(-)} / \Gamma) + \lambda_+ (\Gamma^{(+)} / \Gamma) - S = 0,\end{aligned}\quad (1)$$

где τ_{\pm} — радиационные времена жизни; Λ_{\pm} — накачка \bar{E}_{\pm} уровней; λ_{\pm} — накачка $2\bar{A}_{\pm}$ уровней; $\Gamma^{(\pm)}$ — вероятности спонтанных $2\bar{A} \rightarrow \bar{E}$ переходов с переворотом ($-$) и без переворота ($+$) спина в единицу времени; $\Gamma = \Gamma^{(+)} + \Gamma^{(-)}$ — обратное время жизни $2\bar{A}$ -уровня, обусловленное спонтанным испусканием фононов 29 см^{-1} . Вследствие правил отбора по спину $\lambda_- > \lambda_+$ и $\Lambda_- > \Lambda_+$, кроме того, $\tau_- > \tau_+$ из-за реабсорбции света. Интеграл неупругих столкновений с переворотом спина отвечает за спиновую релаксацию и дается выражением

$$S = \int d\omega \rho(\omega) [N_+ \sigma_+ - (\omega) - N_- \sigma_- - (\omega)], \quad (2)$$

где $\rho(\omega)$ определяет спектральную плотность фононов; σ_{+-} , σ_{-+} — эффективные сечения резонансного комбинационного рассеяния фононов (РКР) с переворотом спина [7]. В данном случае в отличие от теплового равновесия функция $\rho(\omega)$ не является наперед заданной, а определяется самим процессом пленения фононов, в частности многократным РКР с преворотом спина. Следовательно, $\rho(\omega)$ существенно зависит от величин N_{\pm} , а уравнения (1) являются нелинейными. Их надо решать самосогласованно с интегральными уравнениями переноса плененных фононов [7-9], что и было нами сделано.

В сильном внешнем магнитном поле функция $\rho(\omega)$ представляет собой квартет резонансных пиков $\rho_i(\omega)$, $i=1, 2, 3, 4$ на частотах $2\bar{A}_{\pm} - \bar{E}_{\pm}$ переходов. Эти частоты определяются зеемановским расщеплением $2\bar{E}$ (\bar{E} , $2\bar{A}$) состояния. Поэтому (2) можно записать как

$$S = \frac{\Gamma^{(-)} \Gamma^{(+)}}{\Gamma^2} \int \sigma(\omega) [N_+ \rho_1(\omega) - N_- \rho_2(\omega) + N_+ \rho_3(\omega) - N_- \rho_4(\omega)] d\omega. \quad (3)$$

Решение уравнений для функций ρ_i представляют собой сумму двух членов $\rho_i(\omega) = \rho_i^{(0)} + \delta \rho_i$. Первое слагаемое $\rho_i^{(0)}(\omega)$ отвечает фононам, равновесным по отношению к РКР, т. е.

$$N_+ \rho_1^{(0)} = N_- \rho_2^{(0)}, \quad N_+ \rho_3^{(0)} = N_- \rho_4^{(0)}. \quad (4)$$

Соответствующие им вероятности $\bar{E}_+ \leftrightarrow \bar{E}_-$ переходов имеют вид

$$W_{+-}^{(0)} = \frac{\Gamma^{(-)} \Gamma^{(+)}}{\Gamma^2} \int \sigma(\omega) [\rho_1^{(0)} \rho_3(\omega) + \rho_2^{(0)} \rho_4(\omega)] d\omega \quad (5)$$

и приблизительно равны $W_{+-}^{(0)} + W_{+-}^{(0)} \simeq 4(\Gamma^{(-)} \Gamma^{(+)}/\Gamma) \eta$, где $\eta = N_{2\bar{A}}/N_{\bar{E}} \simeq R_2/R_1$ — число заполнения для неравновесных фононов 29 см^{-1} . Напомним, что аналогичное соотношение имеет место при орбаховской релаксации, причем $\eta \sim e^{-\Delta/kT}$ [5].

Однако сравнительно большие по величине (при достаточно сильном пленении) вероятности (5) в отличие от орбаховской релаксации не дают никакого вклада в интеграл столкновений (2) и поэтому не могут повлиять на отношение N_-/N_+ . Действительно, на основании (4), (5) из (3) получаем, что $S^{(0)} = N_+ W_{+-}^{(0)} - N_- W_{+-}^{(0)} \equiv 0$ независимо от величин N_{\pm} . Поэтому об отношении заселеностей N_-/N_+ нельзя судить по величине числа заполнения $\eta = R_2/R_1$, как это считалось ранее [1, 7] по аналогии с орбаховской релаксацией. На самом деле роль играет лишь сравнительно небольшая доля фононов $\delta \rho_i$, не равновесных по отношению к РКР; при этом оказывается, что S (3) в случае пространственной диффузии фононов (с учетом РКР) — так называемой «компенсированной» диффузии — не

зависит от числа заполнения и степени пленения фононов, а именно в этом случае

$$S = \gamma_+ \frac{N_+^2 (\Gamma^{(+)} / \Gamma)^2 - N_-^2 (\Gamma^{(-)} / \Gamma)^2}{N_-^2 (\Gamma^{(-)} / \Gamma) + N_+^2 (\Gamma^{(+)} / \Gamma)} + \gamma_- \frac{N_+^2 (\Gamma^{(-)} / \Gamma)^2 - N_-^2 (\Gamma^{(+)} / \Gamma)^2}{N_-^2 (\Gamma^{(+)} / \Gamma) + N_+^2 (\Gamma^{(-)} / \Gamma)}. \quad (6)$$

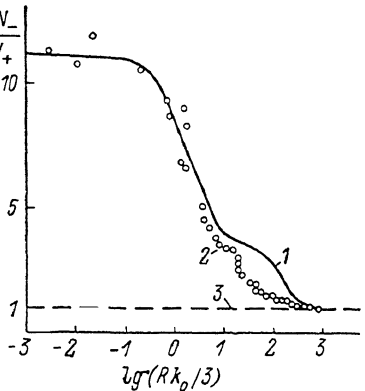
В пренебрежении членами порядка $\Gamma^{(\pm)} / \Gamma$ имеем $S \approx \lambda_+ (\Gamma^{(+)} / \Gamma) - \lambda_- (\Gamma^{(-)} / \Gamma)$. Это находится в соответствии с тем, что выход фононов из возбужденного объема в основном происходит за счет «флип-спин» резонансов, которым отвечает большая длина свободного пробега. Теперь уравнения (1) легко решаются

$$N_+ \approx \tau_+ (\Delta_+ + \lambda_-), \quad N_- \approx \tau_- (\Delta_- + \lambda_+), \quad (7)$$

что, однако, имеет нетривиальный физический смысл, а именно согласно (7), наша нелинейная задача с многократным РКР эффективно свелась к обращению правил отбора для $2\bar{A} \rightarrow \bar{E}$ релаксации, т. е. переход с переворотом спина оказался разрешенным, и наоборот.¹ Из (7) следует также, что при резонанском возбуждении, например, $2\bar{A}_-$ -уровня происходит обращение заселенностей $N_+ \gg N_-$. Эти на первый взгляд странные следствия

Зависимость отношения N_-/N_+ от параметра Rk_0 .

R — радиус лазерного луча, $k_0 = \sigma_0 N^*$, $\sigma_0 = 0.8 \cdot 10^{-13}$ см², $N^* = N_- + N_+$ (по условиям опыта [3]). 1 — теоретическая кривая при $\beta = 0.4$, имеющая вид двойного плея; 2 — экспериментальные данные [3] в пересете на шкалу $N^* = N_- + N_+$; 3 — асимптота $N_- + N_+ = 1$ при $Rk_0 \rightarrow \infty$.



обусловлены, формально говоря, наличием обратной связи нелинейных уравнений (1) для матрицы плотности \bar{E}_\pm дублета через РКР.

Используя эмпирическое значение коэффициента ветвления накачки $\beta \approx 0.4$ [1], а также измеренный в [10] коэффициент спиновой памяти, мы получили хорошее согласие предложенной теории с экспериментом [3, 4] (см. рисунок). При этом учитывалось существенное при достаточно сильном пленении неупругое рассеяние высокочастотных стоксовских фононов на $\bar{E} - 2\bar{A}$ переходах, наблюдавшееся в [11]. С учетом последнего обстоятельства

$$\begin{aligned} \dot{N}_+ &= 0 = -\tau_+^{-1} N_+ + \Lambda_+ + \gamma_- - w N_+ + w N_-, \\ \dot{N}_- &= 0 = -\tau_-^{-1} N_- + \Lambda_- + \gamma_+ - w N_- + w N_+. \end{aligned} \quad (8)$$

Величина w , определяющая в (7) вероятность переворота спина в \bar{E} -состоянии, является на самом деле вероятностью в единицу времени $\bar{E} \rightarrow 2\bar{A}$ перехода без переворота спина (мы это подчеркиваем), индуцированного стоксовскими фононами. Этот парадокс объясняется вышеупомянутым обращением правил отбора по спину, обусловленного наличием обратной связи в нелинейной системе, причем стоксовские релаксационные фононы осуществляют дополнительную обратную связь. Из (8) видно, что с усилением накачки и соответствующим ростом величины w отношение N_-/N_+ стремится к единице, т. е. спиновая память в \bar{E} -состоянии разрушается, что находится в согласии с опытом (см. рисунок). Величину w нетрудно оценить из сравнения результатов стационарных и импульсных опытов по пленению фононов 29 см⁻¹. Согласно [11], $\eta = \tau_1 (w + \beta/\tau_R)$, где $\tau_1 = MT$ — временная задержка при многократном рассеянии [7], т. е. время пленения. При сильном пленении w достигает значений $\approx 10^5$, что дает практическое равенство N_- и N_+ . В этом смысле интересными

¹ Именно этот момент представляется нам наиболее важным проявлением рассматриваемого механизма релаксации.

были бы опыты в сильном внешнем магнитном поле при резонансом оптическом возбуждении в $2\bar{A}$ -состояние, когда высокочастотных фононов не образуется.

При сравнении с опытами по пленению фононов 29 см^{-1} в сильном магнитном поле [4] мы воспользовались следующей формулой для фактора пленения M , который определяет степень пленения и время пленения:

$$M = 0.1 L^2 k_0^2 \frac{\Gamma(-)\Gamma(+)}{\Gamma^2} \frac{\lambda_- v_+^2 + \lambda_+ v_-^2}{\lambda_+ + \lambda_-}, \quad (9)$$

где все обозначения соответствуют работе [12] по теории компенсированной диффузии фононов 29 см^{-1} , в частности $N_-/N_+ = v_-/v_+$. Отметим, что расчетные данные на рисунке в широком интервале изменения интенсивности накачки получены на основе гораздо более детальной теории, чем представленная в данной работе.² Небольшое количественное расхождение с опытом объясняется, по-видимому, слишком грубым описанием кинетики стоксовских релаксационных фононов.

Мы не останавливаемся здесь на критическом разборе теоретических взглядов авторов работы [3], основанных на работе [13], так как эти взгляды, с современной точки зрения, являются физически непоследовательными. Напомним, что корректная постановка задачи по спиновой резонансной релаксации была дана лишь в 1982 г. в работе [7].

Отметим в заключение, что в нестационарных импульсных опытах, а также в опытах квазистационарного типа [11] вероятности W_{+-} в (5) должны проявиться на опыте, так как соотношения (4) более не выполняются. При этом можно ожидать немонотонной зависимости от времени для отношения концентраций N_-/N_+ .

Авторы признательны А. А. Каплянскому, В. И. Перелю за полезные замечания и интерес к работе. Мы также благодарны И. Б. Левинсону, обратившему наше внимание на общий интерес ситуации, в которой две динамические подсистемы сильно связаны между собой при их относительно слабом взаимодействии с термостатом.

Л и т е р а т у р а

- [1] Kaplyanskii A. A., Basun S. A. In: Nonequilibrium Phonons in Nonmetallic Crystals / Ed. Eisenmenger W., Kaplyanskii A. Elsvier Science Publishers B. V., 1986, p. 373—453.
- [2] Renk K. F. Ibid., p. 317—372.
- [3] Dijkhuis J. I., de Wijn H. W. Phys. Rev., 1979, vol. 20B, N 9, p. 3615—3618.
- [4] Басун С. А., Каплянский А. А., Шехтман В. Л. ФТТ. 1981, т. 23, № 12, с. 3694—3697.
- [5] Geschwind S., Devlin G. E., Cohen R. L., Chinn S. R. Phys. Rev., 1965, vol. 137A, N 4, p. 1087—1100.
- [6] Imbusch G. F., Geschwind S. Phys. Rev. Lett., 1966, vol. 17, N 5, p. 238—240.
- [7] Басун С. А., Каплянский А. А., Шехтман В. Л. ЖЭТФ, 1982, т. 82, № 6, с. 1945—1963.
- [8] Левинсон И. Б. ЖЭТФ, 1978, т. 85, № 1, с. 234—248.
- [9] Малышев В. А., Шехтман В. Л. ФТТ. 1984, т. 26, № 4, с. 1017—1026.
- [10] De Wijn H. W., Adde R. Sol. St. Commun., 1978, vol. 27, N 12, p. 1285—1288.
- [11] Басун С. А., Каплянский А. А., Шехтман В. Л. ФТТ, 1982, т. 24, № 6, с. 1913—1916.
- [12] Шехтман В. Л., Якубов А. Ф. ФТТ, 1988, т. 30, № 7, с. 1970—1978.
- [13] Dijkhuis J. I., de Wijn H. W. Phys. Rev., 1979, vol. 20B, N 5, p. 1844—1854.

Ленинградское высшее военно-морское
инженерное училище им. В. И. Ленина
Ленинград

Поступило в Редакцию
23 мая 1988 г.
В окончательной редакции
8 июля 1988 г.

² В данной работе, так же как и в [12], мы существенно опирались на адиабатическое приближение [9]. Поэтому мы сочли желательным еще раз вернуться к результатам [9] и получили с помощью метода Фурье точную асимптотику степени пленения при больших значениях Lk_0 . Оказалось, что результаты [9] отличаются от точного решения лишь численным коэффициентом, причем не более чем на 6 % (в режиме спектральной диффузии). Это сравнимо с погрешностью эксперимента. В этом смысле результаты данной работы, так же как и предшествующей [12], полностью обоснованы.